

ГЕОМАГНЕТИЗМ
И
АЭРОНОМИЯ

Том XI

(ОТДЕЛЬНЫЙ ОТТИСК)

4

МОСКВА · 1971

УДК 550.383

МАГНИТОВАРИАЦИОННОЕ ЗОНДИРОВАНИЕ С ИСПОЛЬЗОВАНИЕМ ПЕРЕХОДНЫХ ПРОЦЕССОВ В ЗЕМЛЕ

Г. Г. Обухов, М. Н. Бердичевский, Л. Л. Ваньян, Э. Б. Файнберг

Предложен метод исследования глубинной электропроводности Земли по переходным и импульсным характеристикам естественного электромагнитного поля и даны рекомендации по практическому использованию рассмотренной методики.

В современных методах глубинной геоэлектрики используется идея частотного зондирования [1]. Однако наряду с частотным возможно и временное зондирование, основанное на изучении переходных процессов [2]. Теория такого зондирования построена для плоской модели Земли, возбуждаемой плоской волной [3,4]. Расчет показывает, что временное зондирование имеет более высокую разрешающую способность, нежели частотное. В настоящей статье рассмотрены переходные процессы в сферической модели Земли, возбуждаемой произвольным источником. На этой основе предложены различные схемы временного магнитовариационного зондирования, учитывающие сферичность Земли.

Возьмем ту же модель, что и в [1]. Сферическая Земля с удельным сопротивлением $\rho(r)$ окружена непроводящей атмосферой. Следуя [1], запишем для сферической гармоники магнитного потенциала при $r \geq R$

$$u(t) = R \left\{ v_n^m(t) \left(\frac{r}{R} \right)^n + w_n^m(t) \left(\frac{R}{r} \right)^{n+1} \right\} e^{-im\varphi} P_n^m(\cos \theta), \quad (1)$$

где R — радиус Земли; v и w — внешний и внутренний потенциалы.

На земной поверхности при $r = R$ имеем

$$\begin{aligned} u(t) &= R [v_n^m(t) + w_n^m(t)] e^{-im\varphi} P_n^m(\cos \theta), \\ h_\varphi(t) &= im [v_n^m(t) + w_n^m(t)] \frac{e^{-im\varphi}}{\sin \theta} P_n^m(\cos \theta), \\ h_\theta(t) &= - [v_n^m(t) + w_n^m(t)] e^{-im\varphi} \frac{dP_n^m(\cos \theta)}{d\theta}, \\ h_r(t) &= - [nv_n^m(t) - (n+1)w_n^m(t)] e^{-im\varphi} P_n^m(\cos \theta). \end{aligned} \quad (2)$$

Если внешний потенциал $v_n^m(t)$ меняется во времени как функция Хевисайда (3а) или Дирака (3б)

$$v_n^m(t) = \alpha_n^m \sigma(t), \quad (3а)$$

$$v_n^m(t) = \bar{\alpha}_n^m \delta(t), \quad (3б)$$

то внутренний потенциал $w_n^m(t)$ и компоненты магнитного поля $h_n^m(t)$ меняются как

$$w_n^m(t) = \alpha_n^m p_n(t), \quad w_n^m(t) = \bar{\alpha}_n^m g_n(t), \quad (4)$$

$$h_\varphi(t) = im\bar{\alpha}_n^m p_{\varphi n}(t) \frac{e^{-im\varphi}}{\sin\theta} P_n^m(\cos\theta),$$

$$h_\varphi(t) = im\bar{\alpha}_n^m g_{\varphi n}(t) \frac{e^{-im\varphi}}{\sin\theta} P_n^m(\cos\theta), \quad (5)$$

$$h_\theta(t) = -\alpha_n^m p_{\theta n}(t) e^{-im\varphi} \frac{dP_n^m(\cos\theta)}{d\theta}, \quad (6)$$

$$h_\theta(t) = -\bar{\alpha}_n^m g_{\theta n}(t) e^{-im\varphi} \frac{dP_n^m(\cos\theta)}{d\theta},$$

$$h_r(t) = -\alpha_n^m p_{rn}(t) e^{-im\varphi} P_n^m(\cos\theta), \quad (7)$$

$$h_r(t) = -\bar{\alpha}_n^m g_{rn}(t) e^{-im\varphi} P_n^m(\cos\theta),$$

где $p_n(t)$ и $g_n(t)$ — переходная и импульсная характеристики потенциала;

$$p_{\varphi n}(t) = p_{\theta n}(t) = \sigma(t) + p_n(t), \quad g_{\varphi n}(t) = g_{\theta n}(t) = \delta(t) + g_n(t), \quad (8)$$

$$p_{rn}(t) = n\sigma(t) - (n+1)p_n(t), \quad g_{rn}(t) = n\delta(t) - (n+1)g_n(t)$$

— переходные и импульсные характеристики магнитного поля. Согласно (3), (4),

$$p_n(t) = \frac{1}{2\pi} \int_{-\infty}^{\infty} \frac{F_n(\omega)}{-i\omega} e^{-i\omega t} d\omega, \quad (9)$$

$$g_n(t) = \frac{1}{2\pi} \int_{-\infty}^{\infty} F_n(\omega) e^{-i\omega t} d\omega,$$

$$F_n(\omega) = \frac{w_n^m(\omega)}{v_n^m(\omega)} = \frac{n}{n+1} \frac{i\omega\mu R + (n+1)z(\omega, n)}{i\omega\mu R - nz(\omega, n)}, \quad (10)$$

где $F_n(\omega)$ — отношение внешнего и внутреннего потенциалов, выраженное через импеданс $z(\omega, n)$ сферической Земли [1].

По переходным и импульсным характеристикам могут быть построены временные кривые кажущегося сопротивления, отражающие изменения электропроводности с глубиной. В качестве примера рассмотрим первую гармонику $n=1$.

В случае однородной Земли с удельным сопротивлением ρ имеем [5]

$$F_1(\omega) = \frac{1}{2} \left[1 + 3 \left(\frac{1}{k^2 R^2} - \frac{\text{cth } kR}{kR} \right) \right], \quad (10a)$$

где $k = \sqrt{-i\omega\mu/\rho}$. При этом интегралы (9) берутся с помощью вычетов

$$p_1(t) = \frac{3}{\pi^2} \sum_{l=1}^{\infty} \frac{1}{l^2} e^{-\frac{l^2}{8} \left(\frac{\tau}{R}\right)^2}, \quad (11)$$

$$g_1(t) = -\frac{3\rho}{\mu R^2} \sum_{l=1}^{\infty} e^{-\frac{l^2}{8} \left(\frac{\tau}{R}\right)^2}$$

где $\tau = 2\pi\sqrt{2t\rho/\mu}$, что согласуется с результатами, приведенными в [6]. Отсюда, согласно (8),

$$p_{\varphi 1}(t) = p_{\theta 1}(t) = \sigma(t) + \frac{3}{\pi^2} \sum_{l=1}^{\infty} \frac{1}{l^2} e^{-\frac{l^2}{8} \left(\frac{\tau}{R}\right)^2},$$

$$g_{\varphi 1}(t) = g_{\theta 1}(t) = \delta(t) - \frac{3\rho}{\mu R^2} \sum_{l=1}^{\infty} e^{-\frac{l^2}{8} \left(\frac{\tau}{R}\right)^2},$$

$$p_{r1}(t) = \sigma(t) - \frac{6}{\pi^2} \sum_{l=1}^{\infty} \frac{1}{l^2} e^{-\frac{l^2}{8} \left(\frac{\tau}{R}\right)^2}, \quad (12)$$

$$g_{r1}(t) = \delta(t) + \frac{6\rho}{\mu R^2} \sum_{l=1}^{\infty} e^{-\frac{l^2}{8} \left(\frac{\tau}{R}\right)^2}.$$

Переходные и импульсные характеристики однородной Земли при $n=1$ изображены на фигуре. Функции $p_1(t)$, $g_{\theta 1}(t)$, $g_{r1}(t)$, $g_1(t)$ с течением времени асимптотически стремятся к нулю, а функции $p_{r1}(t)$ и $p_{\theta 1}(t)$ — к 1. По функциям $p_{r1}(t)$ и $p_{\theta 1}(t)$ легко определить практическую длительность переходного процесса. Примем, что процесс завершается, когда $p_{\theta 1}(t)$ и $p_{r1}(t)$ достигают значений 1,10 и 0,90 соответственно. При таком определении длительность t переходного процесса для горизонтальных (h_{θ} , h_{φ}) и вертикальной h_r компонент магнитного поля может быть вычислена по формулам

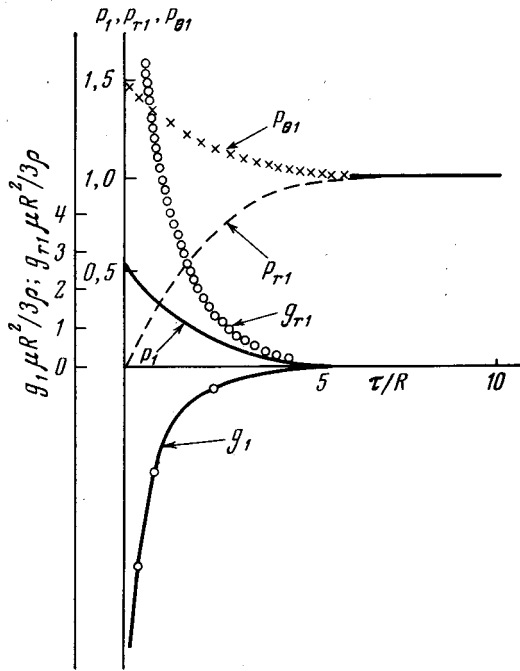
$$t_{\theta} = 0,11 \frac{\mu R^2}{\rho}, \quad t_r = 0,18 \frac{\mu R^2}{\rho}. \quad (13)$$

Характерные значения t_{θ} и t_r приведены ниже:

ρ , о.м.м	1	10	100	1000
$t_{\theta, \varphi}$, сек.	$5,5 \cdot 10^6$	$5,5 \cdot 10^5$	$5,5 \cdot 10^4$	$5,5 \cdot 10^3$
t_r , сек.	$9 \cdot 10^6$	$9 \cdot 10^5$	$9 \cdot 10^4$	$9 \cdot 10^3$

Из (11), (12) видно, что импульсные характеристики, переходная характеристика $p_1(t)$ и устанавливающиеся части переходных характеристик p_{r1} , $p_{\theta 1}$, $p_{\varphi 1}$ при $t \rightarrow \infty$ не теряют связи с ρ . Напомним, что импеданс $z(\omega, h)$ при $\omega \rightarrow 0$ теряет связь с ρ [7]. Следовательно, временное зондирование открывает новые возможности при изучении больших глубин.

Кажущееся удельное сопротивление неоднородной Земли может быть определено по устанавливающимся компонентам магнитного поля тремя способами:



1) по асимптотике ранних времен. Согласно (10а),

$$p_1(t) \underset{t \rightarrow 0}{\sim} \frac{1}{2} - \frac{3}{R} \sqrt{\rho t / \pi \mu},$$

$$g_1(t) \underset{t \rightarrow 0}{\sim} -\frac{3}{2R} \sqrt{\rho / \pi \mu t}, \quad (14)$$

откуда с учетом (8)

$$\rho_{p_1} = [1 - 2p_1(t)]^2 \frac{R^2 \pi \mu_0}{36t},$$

$$\rho_{p_{r1}} = \frac{p_{r1}^2 R^2 \pi \mu}{36t}, \quad (15)$$

$$\rho_{p_{\theta 1}} = \rho_{p_{\varphi 1}} = \frac{(3 - 2p_{\theta 1})^2 R^2 \pi \mu_0}{36t}, \quad (16)$$

$$\rho_{g_1} = \rho_{g_{\theta 1}} = \rho_{g_{\varphi 1}} = g_1^2 \frac{4R^2 \pi \mu t}{9},$$

$$\rho_{g_r} = g_{r1}^2 \frac{R^2 \pi \mu t}{9},$$

где ρ_{p_1} , $\rho_{p_{\theta 1}}$, $\rho_{p_{\varphi 1}}$, ρ_{g_1} , $\rho_{g_{r1}}$, $\rho_{g_{\theta 1}}$, $\rho_{g_{\varphi 1}}$ — кажущиеся сопротивления, определенные соответственно по p_1 , $p_{\theta 1}$, $p_{\varphi 1}$, p_{r1} , g_1 , $g_{\theta 1}$, $g_{\varphi 1}$, g_{r1} ;

2) по асимптотике поздних времен. Согласно (11), (12)

$$p_1(t) \underset{t \rightarrow \infty}{\sim} \frac{3}{\pi^2} e^{-\left(\frac{\tau}{R}\right)^2 \frac{1}{8}}, \quad g_1(t) \underset{t \rightarrow \infty}{\sim} -\frac{3\rho}{\mu_0 R^2} e^{-\left(\frac{\tau}{R}\right)^2 \frac{1}{8}}, \quad (17)$$

откуда с учетом (8)

$$\rho_{p_1} = -\frac{\mu R^2}{\pi^2 t} \ln \frac{3}{\pi^2 p_1(t)}, \quad \rho_{p_{\theta 1}} = \rho_{p_{\varphi 1}} = -\frac{\mu R^2}{\pi^2 t} \ln \frac{3}{\pi^2 \ln p_{\theta 1}(t)}, \quad (18)$$

$$\rho_{p_{r1}} = -\frac{\mu R^2}{\pi^2 t} \ln \frac{6}{\pi^2 [-\ln p_{r1}(t)]}, \quad (19)$$

$$\rho_{g_1} = \rho_{g_{r1}} = \rho_{g_{\theta 1}} = \rho_{g_{\varphi 1}} = -\frac{\mu R^2}{\pi^2 t} \ln [-g_1(t) t];$$

3) по теоретическим кривым p_1 , $p_{\theta 1}$, p_{r1} , $p_{\varphi 1}$ и g_1 , $g_{\varphi 1}$, $g_{\theta 1}$, g_{r1} , рассчитанным для однородной Земли. Находятся абсциссы τ/R точек, в которых теоретические значения совпадают с экспериментальными, полученными в момент времени t . Кажущееся сопротивление определяется по формуле

$$\rho_{p_1, p_{r1}, p_{\varphi 1}, p_{\theta 1}, g_1, g_{r1}, g_{\varphi 1}, g_{\theta 1}} = \frac{R^2 \mu}{8\pi^2 t} \left(\frac{\tau}{R}\right)^2. \quad (20)$$

Аналогично получают кажущиеся сопротивления при любом n .

Переходные и импульсные характеристики определяются путем решения интегральных уравнений [3]

$$w_n^m(t) = \int_0^{\infty} v_n^m(t-\tau) g_n(\tau) d\tau, \quad (21)$$

$$w_n^m(t) = \int_0^{\infty} (v_n^m)'(t-\tau) p_n(\tau) d\tau.$$

В наиболее благоприятных случаях S_c , S_i , когда внешний потенциал меняется по закону, близкому к функции Хевисайда или Дирака, переходные или импульсные характеристики могут быть без решения уравнений (21) найдены непосредственно по магнитограммам.

Л И Т Е Р А Т У Р А

1. М. Н. Бердичевский, Л. Л. Ваньян, Э. Б. Файнберг. Геомагн. и аэрономия, 1969, 9, 372.
2. I. R. Wait. Geophysics, 1954, 16, 213, 666.
3. М. Н. Бердичевский, И. А. Безрук и др. Сб. «Магнитотеллурические методы исследования», № 4. «Наука», 1969, 62.
4. J. Kupetz. Revue de L'Institut Francais du petrole, 1969, 24, 685.
5. Ф. М. Каменецкий, А. А. Кауфман, Ю. В. Якубовский. Изв. АН СССР, сер. геофиз., 1957, № 2, 200.
6. Ю. В. Якубовский. Индуктивные методы электроразведки, «Недра», 1963.
7. S. P. Srivastava. Geophys. J. Roy. Astron. Soc., 1966, 11, 373.

Московский государственный университет
ВНИИгеофизика

Статья поступила
17 марта 1970 г.

Институт космических исследований АН СССР
Институт земного магнетизма,
ионосферы и распространения радиоволн
АН СССР